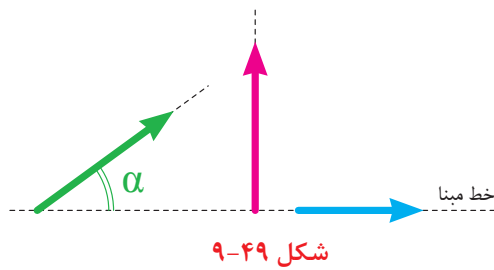
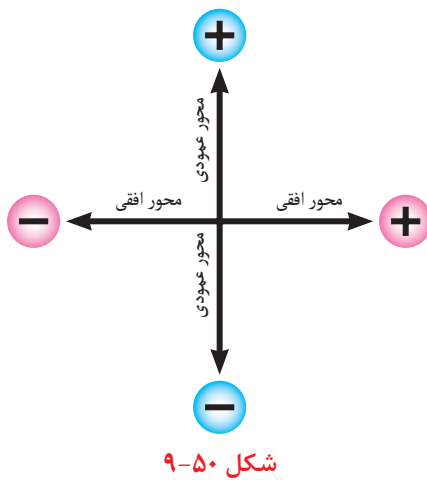


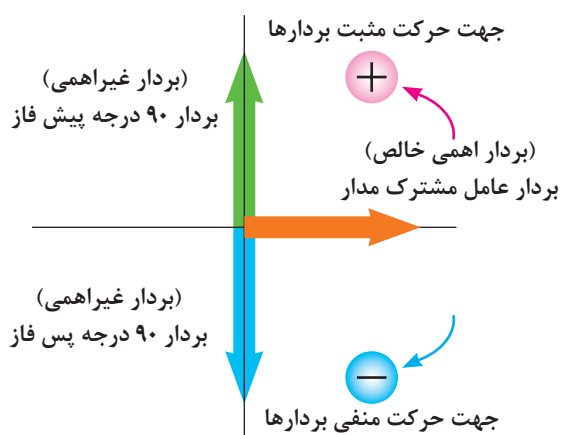
## ۹-۷-۴-بردار:



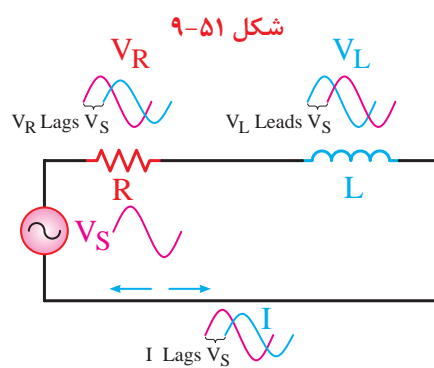
بردار پاره خطی است که دارای اندازه (طول) و جهت (فلش) است. از بردار در مدارهای الکتریکی به عنوان وسیله‌ای جهت نمایش و محاسبه کمیت‌های مختلف الکتریکی مانند ولتاژ، جریان، مقاومت و توان استفاده می‌شود. (شکل ۹-۴۹)



در مدارهای الکتریکی برای رسم بردار مربوط به کمیت‌های الکتريكی قواعد زیر را به کار می‌برند.  
برای رسم بردارها از محورهای مختصات استفاده می‌شود. (شکل ۹-۵۰)



کمیت‌های مختلف مربوط به عناصر غیراهمی خالص روی محور عمودی رسم می‌شوند.

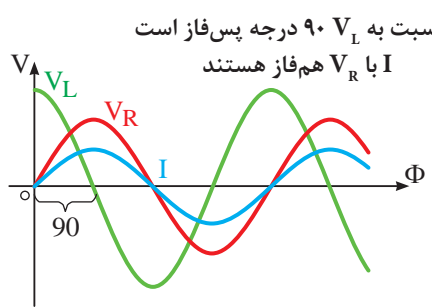


در مدارهای ترکیبی ac برای رسم بردارها نخست بردار عامل مشترک مدار را روی محور افقی (جهت مثبت) رسم می‌شود و سپس بقیه عوامل غیرمشترک نسبت به آن رسم می‌شوند مثلًا برای ترسیم ۹۰ درجه پیش فازی باید بردار روی محور عمودی مثبت یا برای ترسیم ۹۰ درجه پس فازی باید بردار روی محور عمودی منفی قرار گیرد. (شکل ۹-۵۱)

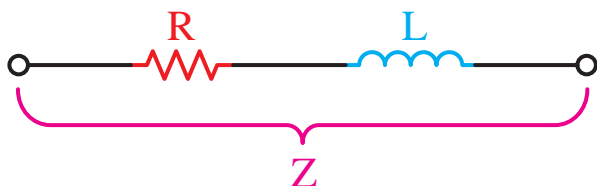
## ۹-۷-۵-مدارهای ترکیبی جریان متناوب:

### الف مدار RL سری:

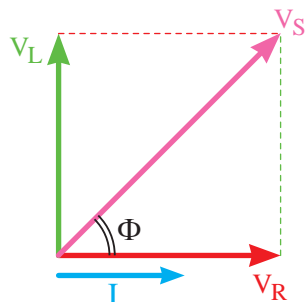
این مدارها که از مقاومت اهمی و سلفی تشکیل شده‌اند دارای خاصیتی هستند که در برگیرنده هر دو عامل است. (شکل ۹-۵۲)



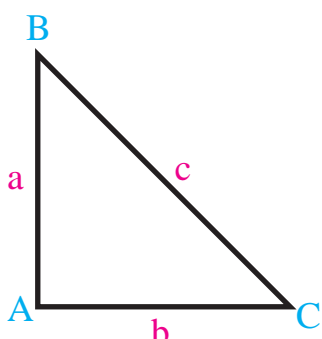
شکل ۹-۵۳- شکل موج های ولتاژ جریان مدار RL سری



شکل ۹-۵۴- مقاومت معادل (امپدانس)



شکل ۹-۵۵



شکل ۹-۵۶- مثلث قائم الزاویه

در این مدارها اختلاف فازی بین ولتاژ و جریان کل مدار وجود دارد. (شکل ۹-۵۳) میزان زاویه اختلاف فاز بین ولتاژ و جریان می تواند بین صفر تا ۹۰ درجه باشد.

به طور کلی مقاومت معادل در مدارهای جریان متناوب را «امپدانس»<sup>۱</sup> می گویند. امپدانس مدارهای RL سری ترکیبی از خاصیت اهمی و راکتانس سلفی است.

می دانیم مدار سری است و عامل مشترک مدار جریان است و از طرف دیگر ولتاژ و جریان در عناصر اهمی هم فاز و در عناصر سلفی ولتاژ به اندازه ۹۰ درجه از جریان جلوتر است. با توجه به موارد فوق دیاگرام برداری ولتاژها در این مدار مطابق شکل ۹-۵۵ ترسیم می شود.

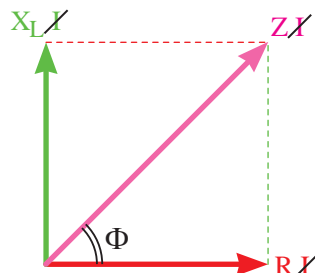
همانگونه که در شکل ۹-۵۵ مشاهده می شود برای به دست آوردن ولتاژ کل مدار سری باید ولتاژهای دو سر مقاومت و سلف را با هم جمع کنیم. در مدارهای اهمی جمع جبری (ساده) قابل قبول است ولی در مدار ترکیبی سلف و مقاومت باید جمع برداری انجام شود. به همین خاطر شکل به دست آمده به صورت یک مثلث قائم الزاویه درآمده است

در مباحث ریاضی سال های گذشته قضیه فیثاغورث را فرا گرفته اید. در این قضیه ارتباط بین اضلاع یک مثلث قائم الزاویه بیان می شود که خلاصه آن چنین است. بنابر قضیه فیثاغورث در هر مثلث قائم الزاویه (شکل ۹-۵۶) مجددور وتر مثلث برابر با حاصل جمع مربع دو ضلع دیگر مثلث است یعنی:

$$\begin{aligned} & \text{(ضلع افقی)}^2 + \text{(ضلع عمودی)}^2 = \text{(وتر)}^2 \\ & (BC)^2 = (AB)^2 + (AC)^2 \\ & c^2 = a^2 + b^2 \end{aligned}$$

بر همین اساس و طبق رابطه فیثاغورث برای دیاگرام برداری ولتاژهای مدار RL سری در شکل ۹-۵۵ می توانیم بنویسیم.

$$V_S = \sqrt{V_R^2 + V_L^2}$$



شکل ۹-۵۷

در دیاگرام برداری ولتاژها اگر بجای ولتاژها معادل آنها را قرار دهیم و سپس عامل مشترک (جریان) را حذف کنیم. دیاگرام برداری امپدانس به دست می‌آید. (شکل ۹-۵۷) امپدانس را بحسب اهم و با استفاده از رابطه زیر می‌توان محاسبه کرد.

$$Z = \sqrt{R^2 + X_L^2}$$

$$\sin \Phi = \frac{\text{ضلع مقابل}}{\text{وتر}}$$

$$\cos \Phi = \frac{\text{ضلع مقابل}}{\text{وتر}}$$

$$\operatorname{tg} \Phi = \frac{\text{ضلع مقابل}}{\text{وتر}}$$

در مثلث تشکیل شده شکل ۹-۵۷ برای زاویه  $\Phi$  نسبت‌های مثلثاتی  $\sin$  و  $\operatorname{tg}$  را می‌توانیم به صورت مقابل بنویسیم:

در مدار  $RL$  سری برای ضرایب فوق روابط مقابل را می‌توان نوشت:

نسبت‌های مثلثاتی  $\sin \Phi$  و  $\cos \Phi$  را تحت عنوان زیر می‌شناسیم.

$\sin \Phi$  - ضریب قدرت دواته، غیرحقیقی، غیرمفید، غیرمؤثر

$\cos \Phi$  - ضریب قدرت واته، حقیقی، مفید، مؤثر

در مدارهای ترکیبی جریان متناوب پارامتر دیگری تحت عنوان «ضریب کیفیت»<sup>۱</sup> مطرح است که با حرف  $Q$  نشان می‌دهیم. ضریب کیفیت را در حالت کلی به صورت زیر تعریف می‌کنیم.

$$Q = \frac{\text{ماکزیمم انرژی ذخیره شده}}{\text{انرژی مصرفی کل در هر سیکل}}$$

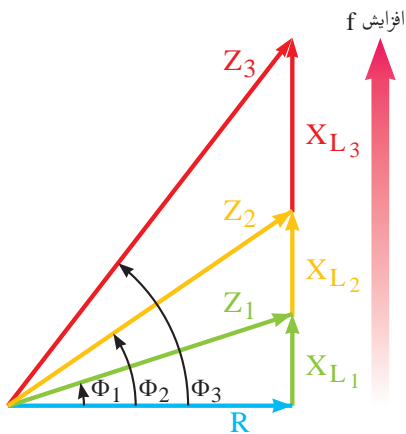
$$\begin{aligned}\sin \Phi &= \frac{V_L}{V_S} = \frac{X_L}{Z} \\ \cos \Phi &= \frac{V_R}{V_S} = \frac{R}{Z} \\ \operatorname{tg} \Phi &= \frac{V_L}{V_R} = \frac{X_L}{R}\end{aligned}$$

انرژی ذخیره شده در مدارها مربوط به مقاومت‌های سلفی و خازنی است در صورتی که انرژی مصرفی را براساس مقاومت اهمی به دست می‌آوریم مقدار ضریب کیفیت  $Q$  در مدارهای  $RC$  و  $RL$  با مقدار  $\operatorname{tg} \Phi$  برابر است.

در مدار  $RL$  سری هر قدر فرکانس افزایش یابد، امپدانس بیشتر می‌شود. هم‌چنین از طرف دیگر زاویه

اختلاف فاز بین ولتاژ و جریان کل مدار نیز افزایش می‌یابد.

(شکل ۹-۵۸)



شکل ۹-۵۸- دیاگرام برداری امپدانس در ازای فرکانس‌های مختلف

تغییرات امپدانس موجب تغییر در مقدار جریان مدار

می‌شود زیرا:

$$I = \frac{V_s}{Z}$$

از مدار RL سری برای نشان دادن مدار معادل

ترانسفورماتورها و موتورهای الکتریکی استفاده می‌شود.

مثال: در مدار شکل ۹-۵۹ مقابله مطلوب است:

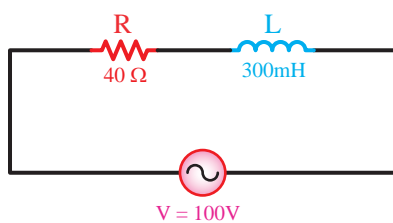
الف - امپدانس مدار

ب - افت ولتاژ دو سر هر عنصر

ج - ضریب کیفیت و ضریب توان دوواته

حل: مقادیر خواسته شده را براساس روابط مدارهای

RL سری به صورت مقابله دست آورد.



شکل ۹-۵۹

$$X_L = 2\pi f \cdot L = \omega \cdot L$$

$$X_L = 100 \times 300 \times 10^{-3}$$

$$X_L = 30 \Omega$$

$$Z = \sqrt{R^2 + X_L^2}$$

$$Z = \sqrt{(40)^2 + (30)^2}$$

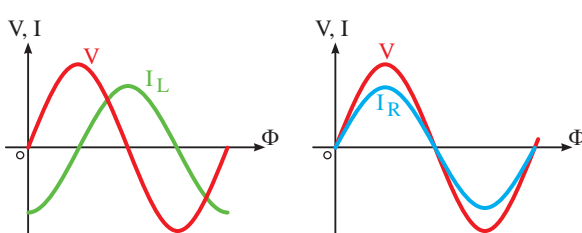
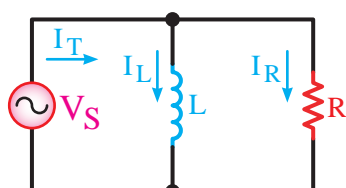
$$Z = 50 \Omega$$

$$I = \frac{V}{Z} = \frac{100}{50} = 2 A$$

$$V_R = R \cdot I_e = 40 \times 2 = 80 V$$

$$V_L = X_L \cdot I_e = 30 \times 2 = 60 V$$

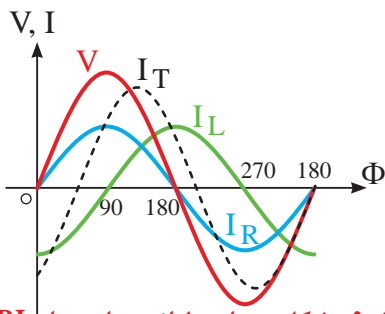
$$\sin \Phi = \frac{X_L}{Z} = \frac{30}{50} = 0.6$$



شکل ۹-۶۰- مدار RL موازی

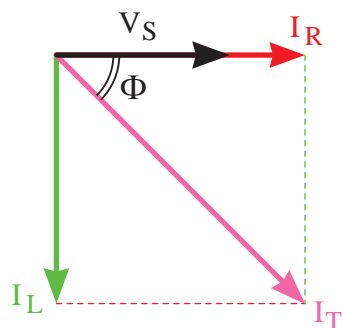
## ب مدار RL موازی:

در این مدارها مقاومت اهمی و سلف به صورت موازی وصل شده‌اند. عامل مشترک در مدارهای موازی ولتاژ است و جریان بین عناصر موجود در مدار به نسبت عکس مقاومت‌ها تقسیم می‌شود. (شکل ۹-۶۰)



شکل ۹-۶۱- شکل موهای ولتاژ جریان مدار  $RL$  موازی

در شاخه اهمی ولتاژ و جریان با هم هم فاز است و در شاخه سلفی ولتاژ و جریان نسبت به هم  $90^\circ$  درجه اختلاف فاز دارند در نتیجه در این مدارها جریان کل نسبت به ولتاژ کل به اندازه  $\Phi$  درجه ( $0 \leq \phi \leq 90^\circ$ ) پس فاز خواهد شد.  
(شکل ۹-۶۱)



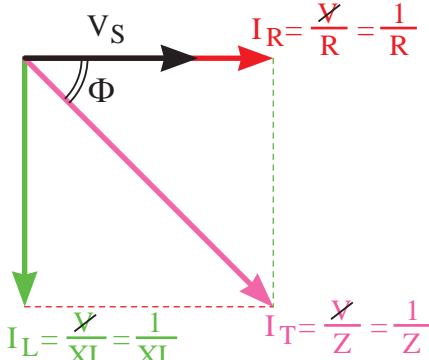
شکل ۹-۶۲- دیاگرام برداری جریان ها

دیاگرام برداری جریان ها در این مدار به صورت شکل ۹-۶۲ است. براساس دیاگرام جریان ها رابطه زیر را می توانیم

بنویسیم:

$$I_T = \sqrt{I_R^2 + I_L^2}$$

مانند مدارهای سری اگر به جای جریان ها معادل آن ها را قرار دهیم شکل دیگری از دیاگرام های مدار  $RL$  موازی را خواهیم داشت که اصطلاحاً به آن دیاگرام «ادمیتانس» یا عکس امپدانس گویند. (شکل ۹-۶۲)



شکل ۹-۶۳- دیاگرام برداری جریان ها

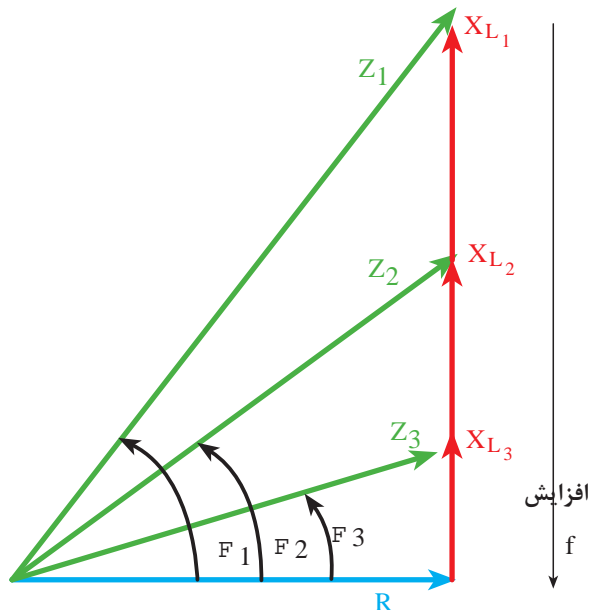
رابطه امپدانس مدارهای  $RL$  موازی به صورت زیر قابل

محاسبه است:

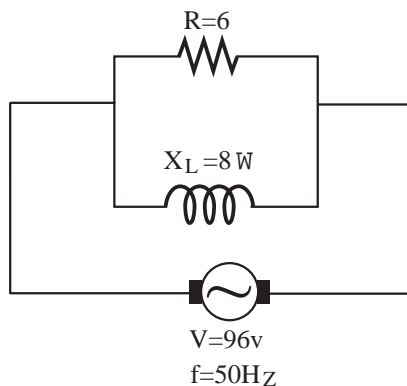
$$\frac{1}{Z} = \frac{1}{R} + \frac{1}{X_L}$$

و پس از ساده شدن رابطه می توان نوشت:

$$Z = \frac{R \cdot X_L}{\sqrt{R^2 + X_L^2}}$$



شکل ۹-۶۴- دیاگرام برداری امپدانس در ازای فرکانس های مختلف



شکل ۹-۶۵

$$Z = \frac{R \cdot X_L}{\sqrt{R^2 + X_L^2}}$$

$$Z = \frac{6 \times 8}{\sqrt{(6)^2 + (8)^2}} = \frac{48}{10} = 4.8 \Omega$$

$$I = \frac{V}{Z} = \frac{96}{4.8} = 20A$$

$$I_R = \frac{V}{R} = \frac{96}{6} = 16A$$

$$I_L = \frac{V}{X_L} = \frac{96}{8} = 12A$$

$$\cos \Phi = \frac{Z}{R} = \frac{4.8}{6} = .8$$

با توجه به دیاگرام های برداری جریان ها و ادمیتانس ها برای ضرایب قدرت می توانیم بنویسیم:

$$\sin \Phi = \frac{I_L}{I_T} = \frac{\cancel{X_L}}{\cancel{Z}} = \frac{Z}{X_L}$$

$$\cos \Phi = \frac{I_R}{I_T} = \frac{\cancel{R}}{\cancel{Z}} = \frac{Z}{R}$$

$$\tan \Phi = \frac{I_L}{I_R} = \frac{\cancel{X_L}}{\cancel{R}} = \frac{R}{X_L}$$

در این مدارها با افزایش فرکانس خاصیت راکتانس سلفی افزایش می یابد و جریان عبوری از سلف کم می شود. در این حالت زاویه اختلاف فاز کم شده و مدار به سمت خاصیت اهمی بیشتر میل می کند. در شکل ۹-۶۴ کاهش زاویه اختلاف فاز را به خوبی می توان مشاهده کرد.

$$(\phi_v < \phi_r < \phi_i)$$

مثال: در مدار شکل ۹-۶۵ مطلوب است:

الف - امپدانس مدار

ب - جریان کل مدار

ج - جریان هر شاخه

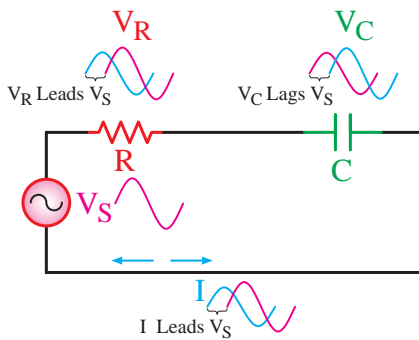
د - ضریب قدرت واته

حل: مقادیر خواسته شده را به صورت مقابل محاسبه

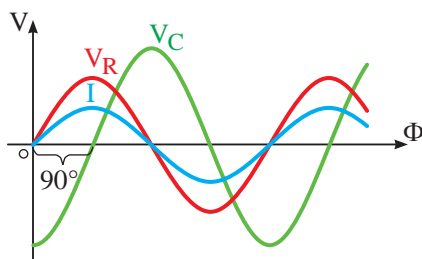
می کنیم:

### پ مدار RC سری:

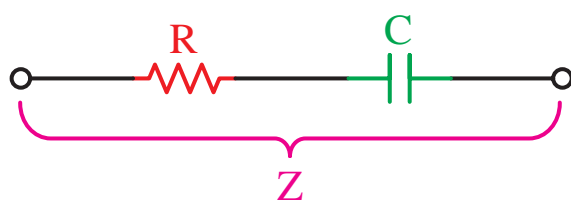
شکل ۹-۶۶ نمونه‌ای از این مدارها را نشان می‌دهد. از نظر فازی رابطه‌ی که بین ولتاژ و جریان وجود دارد شامل خصوصیات هر دو عنصر مدار است.



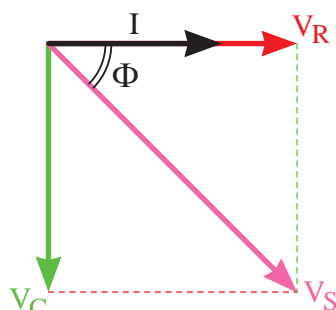
شکل ۹-۶۶ مدار RC سری



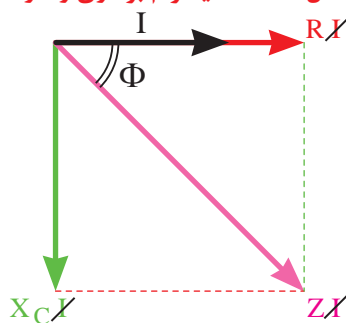
شکل ۹-۶۷ شکل موج‌های ولتاژی و جریان مدار RC سری



شکل ۹-۶۸ دیاگرام برداری امپدانس



شکل ۹-۶۹ دیاگرام برداری ولتاژها



شکل ۹-۷۰ دیاگرام برداری امپدانس

اندازه زاویه اختلاف فاز بین ولتاژ و جریان کل مدار بین صفر تا ۹۰ درجه است. (شکل ۹-۶۷)

مقاومت معادل این مدار را تحت عنوان «امپدانس» می‌نامیم که در برگیرنده هر دو خاصیت اهمی و خازنی مدار است. (شکل ۹-۶۸)

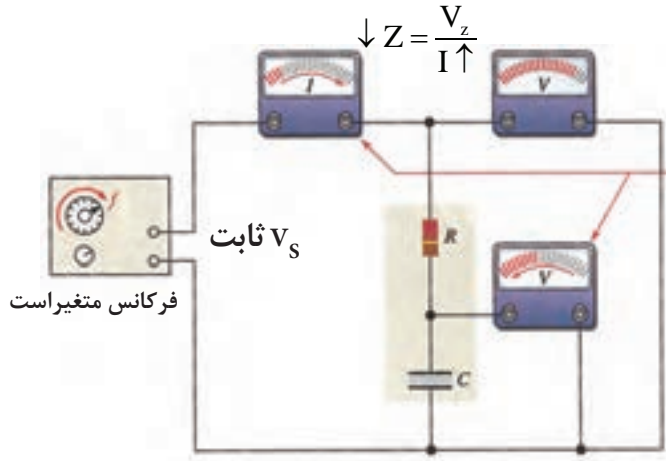
در یک مدار سری جریان تمامی عناصر یکسان است و ولتاژ بین اجزای مدار و به نسبت مقاومت‌ها تقسیم می‌شود. در مقاومت اهمی ولتاژ و جریان هم فاز ولی در خازن جریان به اندازه ۹۰ درجه پیش‌فاز است. بر همین اساس دیاگرام برداری ولتاژهای مدار RC سری مطابق شکل ۹-۶۹ خواهد شد. مقدار \* از رابطه زیر به دست می‌آید:

$$V_s = \sqrt{V_R^2 + V_C^2}$$

مشابه مدار RL سری اگر بجای ولتاژهای VR و VC و VS معادل‌هایشان را قرار دهیم و بعد عامل مشترک I را حذف کنیم دیاگرام امپدانس‌ها به دست می‌آید. (شکل ۹-۷۰)

$$Z = \sqrt{R^2 + X_C^2}$$

از روی دیاگرام های برداری ولتاژها و امپدانس می توان ضرایب قدرت و ضریب کیفیت را به صور زیر نوشت:



شکل ۹-۷۱

$$\sin \Phi = \frac{V_C}{V_s} = \frac{X_C}{Z}$$

$$\cos \Phi = \frac{V_R}{V_s} = \frac{R}{Z}$$

$$\operatorname{tg} \Phi = \frac{V_C}{V_R} = \frac{X_C}{R}$$

با افزایش فرکانس در مدار RC سری مقدار راکتانس خازنی کاهش می یابد. در این حالت افت ولتاژ دو سر خازن کم می شود و زاویه اختلاف فاز آن کاهش می یابد و مدار به سمت مقاومت اهمی میل می نماید. شکل ۹-۷۱ وضعیت مدار و شکل ۹-۷۲ دیاگرام برداری امپدانس را در فرکانس های مختلف نشان می دهد.

مثال: در مدار شکل ۹-۷۳ از یک مقاومت اهمی و یک خازن تشکیل شده است مطلوب است:

الف - امپدانس مدار

ب - جریان مدار

ج - ولتاژ دو سر هر عنصر

د - مقدار  $\operatorname{tg} \Phi$

حل:

$$X_C = \frac{1}{2\pi f C}$$

$$X_C = \frac{1}{2 \times 3.14 \times 50 \times 265 / 39 \times 10^{-6}} = 12 \Omega$$

$$Z = \sqrt{R^2 + X_C^2} = \sqrt{(16)^2 + (12)^2} = 20 \Omega$$

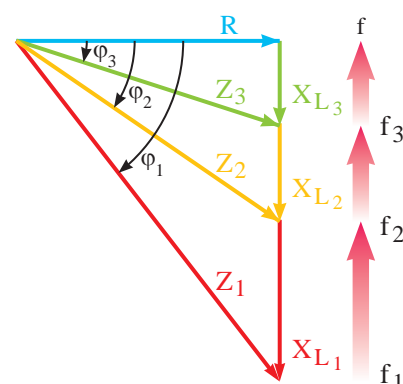
$$I = \frac{V}{Z} = \frac{10}{20} = 0.5 A$$

$$V_R = R \cdot I = 16 \times 0.5 = 8 V$$

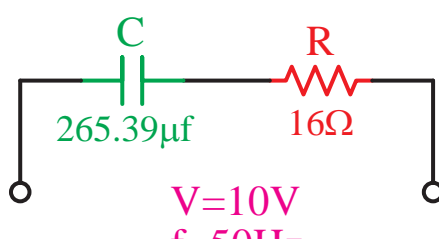
$$V_C = X_C \cdot I = 12 \times 0.5 = 6 V$$

$$\cos \varphi = \frac{R}{Z} = \frac{16}{20} = 0.8$$

$$\operatorname{tg} \Phi = \frac{X_C}{R} = \frac{12}{16} = 0.75$$



شکل ۹-۷۲ - دیاگرام برداری امپدانس در ازای فرکانس های مختلف



شکل ۹-۷۳

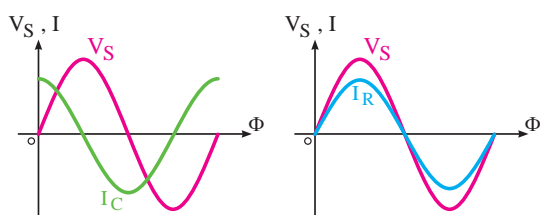
ت

### مدار RC موازی

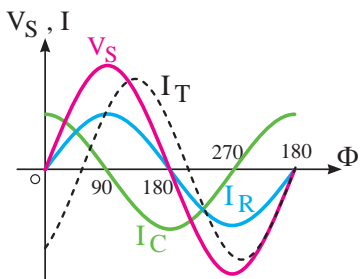
در این مدارها یک مقاومت و یک خازن به صورت موازی

قرار می‌گیرند. (شکل ۹-۷۴)

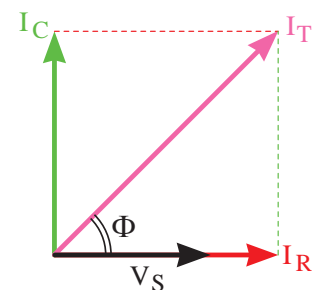
عامل مشترک در این مدارها مانند سایر مدارهای موازی، ولتاژ است در صورتی که جریان کل در بین شاخه‌ها به نسبت عکس مقدار مقاومت‌های مدار تقسیم می‌شود. جریان در شاخه اهمی با ولتاژ هم فاز است و جریان در شاخه خازنی به اندازه ۹۰ درجه از ولتاژ جلوتر (پیش فاز) است.



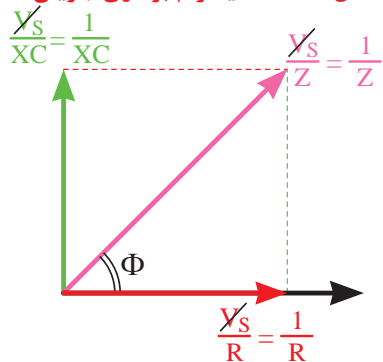
شکل ۹-۷۴- مدار RC موازی



شکل ۹-۷۵- شکل موج‌های ولتاژ و جریان مدار RC موازی



شکل ۹-۷۶- دیاگرام برداری جریان‌ها



شکل ۹-۷۷- دیاگرام برداری امپدانس (ادمیتانس)

مجموع (برآیند) زوایای اختلاف فاز ایجاد شده در دو شاخه مدار، جریان کل مدار  $I_T$  را نسبت به ولتاژ کل  $V_S$  صفر تا ۹۰ درجه پیش فاز می‌کند. (شکل ۹-۷۵) همانگونه که می‌دانید مقاومت معادل بین دو شاخه موازی را امپدانس می‌نامند. مقدار امپدانس از رابطه زیر محاسبه می‌شود:

$$Z = \frac{R \cdot X_C}{\sqrt{R^2 + X_C^2}}$$

دیاگرام برداری جریان‌های مدار مطابق شکل ۹-۷۶ رسم می‌شود و رابطه نهایی جریان کل به صورت زیر است:

$$L_T = \sqrt{I_R^2 + I_C^2}$$

در صورت جایگزینی معادل جریان‌ها در دیاگرام شکل ۹-۷۶ دیاگرام برداری ادمیتانس‌ها به دست می‌آید. شکل ۹-۷۷ مقدار امپدانس که عکس ادمیتانس است با توجه به بردارهای مدار از رابطه زیر محاسبه می‌شود.

$$\frac{1}{Z} = \frac{1}{X_C} + \frac{1}{R}$$

(طبق رابطه فیثاغورث)

پس از مخرج مشترک گرفتن و ساده کردن رابطه امپدانس چنین به دست می آید.

$$Z = \frac{R \cdot X_C}{\sqrt{R^2 + X_C^2}}$$

برای محاسبه روابط ضرایب قدرت می توان از دیاگرام های برداری جریان ها و امپدانس ها استفاده کرد و روابط مقابله را به دست آورد.

افزایش فرکانس در این مدارها باعث می شود تا  $X_C$  کاهش یابد و جریان شاخه خازنی زیاد شود. در این حالت:

$$\downarrow X_C = \frac{1}{2\pi f \cdot C} \Rightarrow \uparrow I_C = \frac{V_s}{X_C} \downarrow$$

خاصیت خازنی مدار بیشتر شده و در نتیجه زاویه اختلاف فاز مدار افزایش می یابد. (شکل ۹-۷۸)

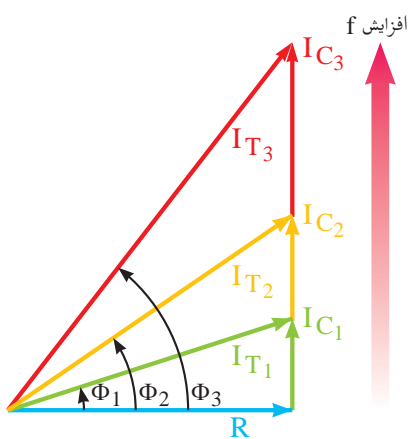
مثال: خازنی به ظرفیت  $f = 1061/57\mu F$  با یک مقاومت  $4\Omega$  اهمی به طور موازی به ولتاژ متناوب  $120V$  ولتی با فرکانس  $50Hz$  اتصال داده شده است. مطلوب است:

- الف - جریان هر یک از عناصر
- ب - جریان کل مدار
- ج - امپدانس مدار

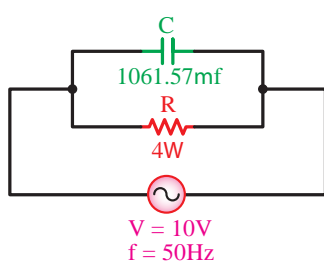
د - ضریب قدرت واته و دواته مدار

حل: با توجه به توضیحات فوق شکل مدار را به صورت

شکل ۹-۷۹ می توان رسم کرد:



شکل ۹-۷۸- دیاگرام برداری امپدانس در ازای فرکانس های مختلف



شکل ۹-۷۹- مدار  $I_C$  سری

$$X_C = \frac{1}{2\pi f \cdot C} = \frac{1}{2 \times 3.14 \times 50 \times 1061/57 \times 10^{-6}} = 3\Omega$$

$$I_R = \frac{V}{R} = \frac{120}{4} = 30A$$

$$I_C = \frac{V}{X_C} = \frac{120}{3} = 40A$$

$$I = \sqrt{I_R^2 + I_C^2} = \sqrt{(30)^2 + (40)^2} = 50A$$

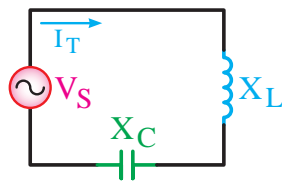
$$Z = \frac{V}{I} = \frac{120}{50} = 2.4\Omega$$

$$\cos \varphi = \frac{Z}{R} = \frac{2.4}{4} = 0.6$$

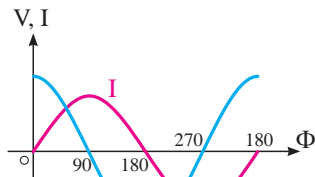
$$\sin \varphi = \frac{Z}{X_C} = \frac{2.4}{3} = 0.8$$

### ث مدار LC سری:

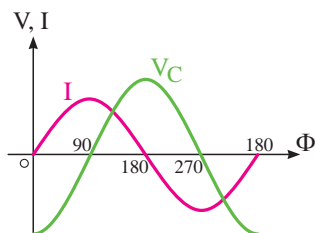
در شکل ۹-۸۰ تصویر مدار LC سری را ملاحظه می کنید. در این مدار جریان عبوری برای سلف و خازن ثابت است (عامل مشترک) ولی ولتاژ کل در بین عناصر سلفی و خازنی تقسیم می شود.



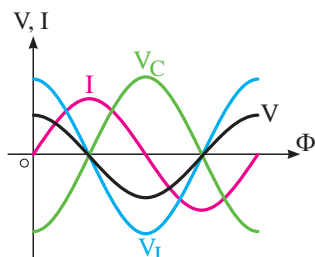
شکل ۹-۸۰- مدار LC سری



شکل ۹-۸۱- شکل موج ولتاژ و جریان سلف



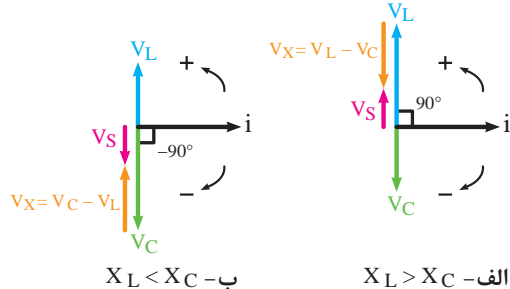
شکل ۹-۸۲- شکل موج ولتاژ و جریان خازن



شکل ۹-۸۳- شکل موج ولتاژ و جریان مدار CL سری  
در حالت  $X_L > X_C$

در شکل ۹-۸۲ رابطه فازی بین ولتاژ و جریان خازن را مشاهده می کنید.

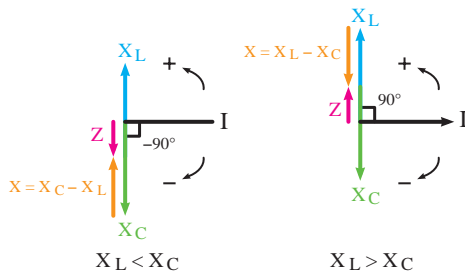
رابطه فازی بین ولتاژ و جریان در کل مدار را برای حالتی که  $X_L > X_C$  است در شکل ۹-۸۳ نشان داده شده است. چون عملکرد خازن و سلف عکس یکدیگر است اثرات یکدیگر را خنثی می کنند. بنابراین در حالتی که  $X_L > X_C$  است مدار دارای خاصیت سلفی می شود. در صورتی که باشد  $X_C > X_L$  مدار دارای خاصیت خازنی خواهد بود.



شکل ۹-۸۴- دیاگرام برداری ولتاژها در حالت های مختلف

دیاگرام برداری ولتاژها و امپدانس در اینگونه مدارها را می توان در دو حالت  $X_L < X_C$ ,  $X_L > X_C$  رسم کرد. در شکل ۹-۸۴ دیاگرام های ولتاژ را مشاهده می کنید.

در شکل ۹-۸۵ دیاگرام برداری امپدانس‌ها در دو حالت ترسیم شده است.



شکل ۹-۸۵- دیاگرام برداری امپدانس‌ها در حالت‌های مختلف

$$V_s = V_L - V_C \quad \text{با} \quad X_L > X_C$$

$$V_s = V_C - V_L \quad X_L < X_C$$

چون بردارها با هم  $180^\circ$  درجه اختلاف فاز دارند لذا می‌توان آن‌ها به صورت خطی با هم جمع برداری (تفریق) کرد. بنابراین روابط ولتاژ کل و امپدانس به صورت مقابل در می‌آید.

$$Z = X_L - X_C \quad \text{با} \quad X_L > X_C$$

$$Z = X_C - X_L \quad X_L < X_C$$

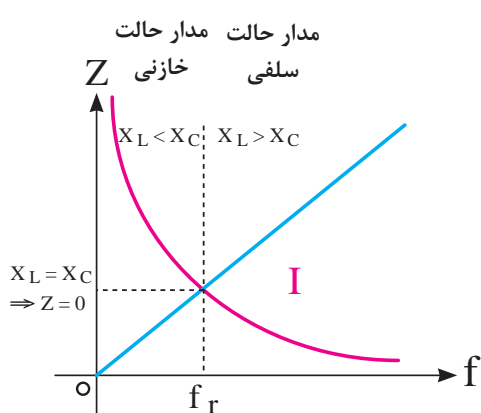
$$\cos(90^\circ) = 0 \quad \cos(-90^\circ) = 0$$

$$\tan(\text{مشخص}) = \tan(-90^\circ) \quad \text{نمایش مشخص} = \tan(90^\circ)$$

در مدارهای LC سری زاویه بین ولتاژ  $V_s$  و جریان  $I$  برابر با  $(+90^\circ)$  درجه یا  $(-90^\circ)$  درجه است. بنابراین در این مدارها ضرایب  $\cos \phi$  و  $\sin \phi$  در این مدارها برابر با  $(+1)$  یا  $(-1)$  است. تغییر فرکانس بر روی هر دو عامل  $X_L$  و  $X_C$  مؤثر است. زیرا اگر  $f$  زیاد شود  $X_L$  زیاد و  $X_C$  کم می‌شود

$$\sin(90^\circ) = 1 \quad \sin(-90^\circ) = -1$$

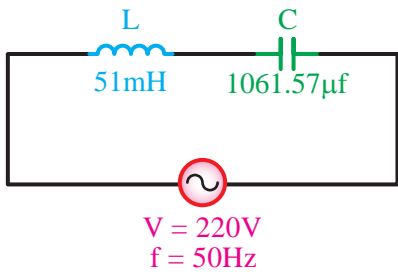
$$\uparrow X_L = 2\pi f \uparrow L \quad \downarrow X_C = \frac{1}{2\pi f \uparrow C}$$



شکل ۹-۸۶- منحنی‌های تغییرات  $X_L$  و  $X_C$  به ازای تغییرات فرکانس

به همین دلیل در مدارهای LC نقطه خاصی وجود دارد که آن را نقطه «رزنانس»<sup>۱</sup> می‌نامند. نقطه رزنانس نقطه‌ای است که در آن نقطه، خازن موجود در مدار اثر سلف را خنثی می‌کند. منحنی تغییرات امپدانس نسبت به فرکانس در این مدارها مشابه شکل ۹-۸۶ است. با توجه به شکل در نقطه‌ای که  $X_L = X_C$  است حالت رزنانس به وجود می‌آید. فرکانس رزنانس از رابطه زیر محاسبه می‌شود.

$$f = \frac{1}{2\pi\sqrt{LC}}$$



شکل ۹-۸۷- مدار LC سری

چون در حالت رزنانس  $X_L = X_C$  است. بنابراین جریان کل مدار در حالت رزنانس خیلی زیاد (بی نهایت) می شود.

مثال: جریان مدار شکل ۹-۸۷ چند آمپر است؟

حل:

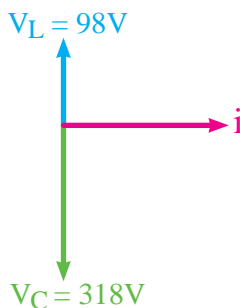
$$X_L = 2\pi f \cdot L$$

$$X_L = 2 \times 3 / 14 \times 50 \times 51 \times 10^{-3} = 16\Omega$$

$$X_C = \frac{1}{2\pi f \cdot C}$$

$$X_C = \frac{1}{2 \times 3 / 14 \times 50 \times 10^{-6} / 57 \times 10^{-6}} = 3\Omega$$

چون مقدار  $X_L$  بزرگتر از مقدار  $X_C$  است و مدار خاصیت سلفی دارد لذا رابطه امپدانس را به صورت زیر به کار می بریم.



شکل ۹-۸۸- دیاگرام برداری ولتاژهای مدار LC سری

مثال: دیاگرام برداری یک مدار LC سری مطابق شکل ۹-۸۸ است در صورتی که مقدار راکتانس خازنی ۳۱۸ اهم باشد مقدار راکتانس سلف و ولتاژ کل مدار چقدر است؟

حل:

$$V_s = V_C - V_L$$

$$V_s = 318 - 98 = 220\text{V}$$

$$V_C = X_C \cdot I \Rightarrow I = \frac{V_C}{X_C}$$

$$I = \frac{318}{318} = 1\text{A}$$

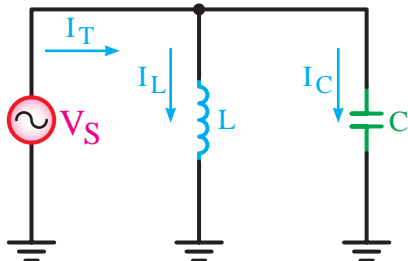
$$V_L = X_L \cdot I \Rightarrow I = \frac{V_L}{X_L}$$

$$X_L = \frac{98}{1} = 98\Omega$$

$$X_L = 2\pi f \cdot L \Rightarrow L = \frac{X_L}{2\pi f} = \frac{98}{2 \times 3 / 14 \times 5} = 0.31\text{H}$$

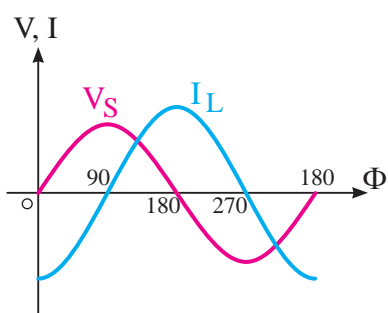
## ج مدار LC موازی:

شکل ۹-۸۹ تصویر مدار LC موازی را نشان می‌دهد. ولتاژ ( $V_S$ ) برای هر دو عنصر مدار یکسان است و جریان کل ( $I_T$ ) این دو شاخه به نسبت عکس راکتانس‌ها تقسیم می‌شود.



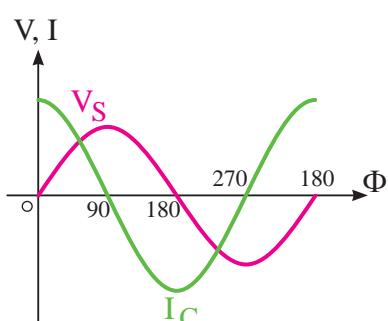
شکل ۹-۸۹- مدار LC موازی

در شاخه خازنی جریان  $I_C$  نسبت به ولتاژ  $V_S$  به اندازه ۹۰ درجه جلوتر و در شاخه سلفی جریان  $(I_L)$  نسبت به ولتاژ ( $V_S$ ) به اندازه ۹۰ درجه عقبتر.

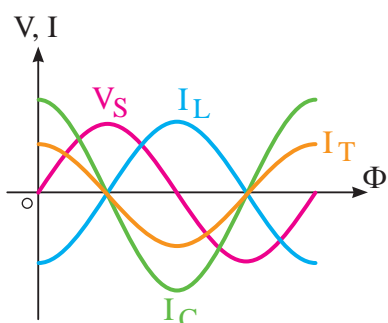


شکل ۹-۹۰- شکل موج ولتاژ و جریان سلف

شکل ۹-۹۰ رابطه فازی جریان و ولتاژ شاخه سلفی و شکل ۹-۹۱ رابطه فازی جریان و ولتاژ شاخه خازنی را نشان می‌دهند.

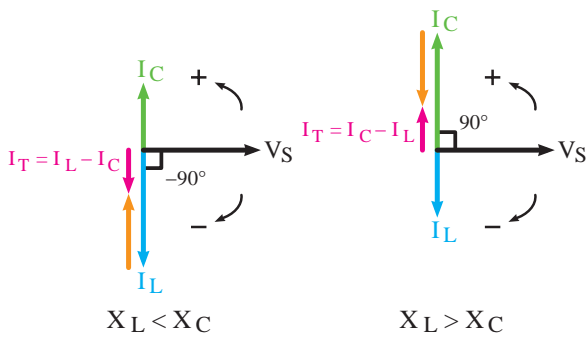


شکل ۹-۹۱- شکل موج ولتاژ و جریان خازن

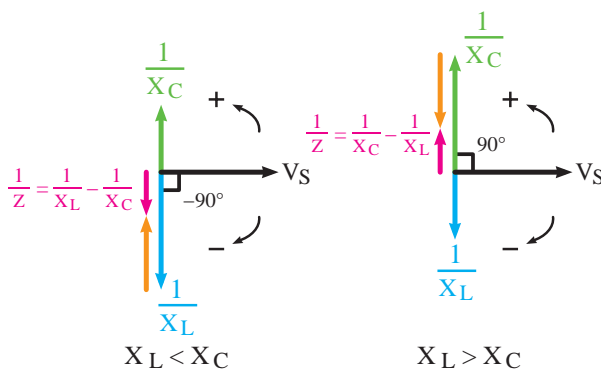


شکل ۹-۹۲- شکل موجهای ولتاژ و  
جریان مدار LC موازی در حالت  
 $X_L > X_C$

این مدار می‌تواند یکی از دو حالت  $X_C < X_L$  یا  $X_L > X_C$  را داشته باشد. بنابراین شکل مربوط به رابطه فازی ولتاژ و جریان را می‌توان برای هر دو حالت فوق رسم کرده. در شکل ۹-۹۲ فقط حالت  $X_L > X_C$  رسم شده است.



شکل ۹-۹۳- دیاگرام برداری جریان  $I_L$  در حالت های مختلف



شکل ۹-۹۴- دیاگرام برداری عکس امپدانس ها (ادمیتانس ها) در حالت های مختلف

دیاگرام برداری جریان های مدار در دو حالت  $X_L \gg X_C$  و  $X_C \gg X_L$  در شکل ۹-۹۳ نشان داده شده است.

می توانیم به جای جریان ها از معادل آن ها یعنی:  $\frac{V_S}{I_T}$  و  $\frac{V_S}{I_C}$  و  $\frac{V_S}{I_L}$  استفاده کنیم و دیاگرام برداری ادمیتانس ها را طبق شکل ۹-۹۴ به دست آوریم.

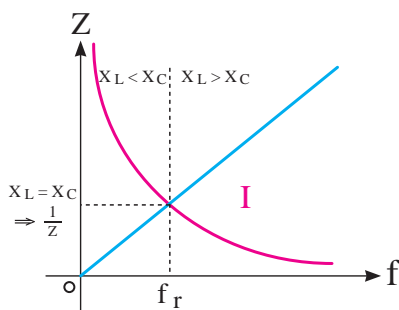
بردار برآیند جریان ها و ادمیتانس ها در مدار LC موازی نیز مشابه مدار L سری به صورت جبری (خطی) با هم جمع می شوند. یعنی:

$$\begin{aligned} I_T &= I_C - I_L & X_L \gg X_C \\ I_T &= I_L - I_C & X_C \gg X_L \end{aligned}$$

$$\begin{aligned} \frac{1}{Z} &= \frac{1}{X_C} - \frac{1}{X_L} & X_L \gg X_C \\ \frac{1}{Z} &= \frac{1}{X_L} - \frac{1}{X_C} & X_C \gg X_L \end{aligned}$$

در مدارهای LC موازی - مشابه مدارهای سری بین ولتاژ و جریان یک اختلاف فاز ۹۰ درجه وجود دارد. ضرایب قدرت به شرح زیر است:

$\cos(90^\circ) = 0$	$\cos(-90^\circ) = 0$
$\sin(90^\circ) = 1$	$\sin(-90^\circ) = -1$
$\tan(90^\circ)$ نامشخص	$\tan(-90^\circ)$ نامشخص

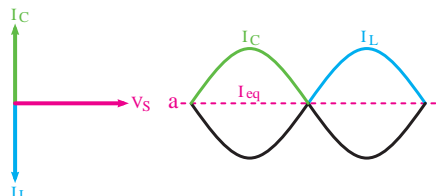


شکل ۹-۹۵- منحنی تغییرات  $X_L$  و  $X_C$  به ازی تغییرات فرکانس

متنااسب با تغییرات فرکانس، مدار در یکی از حالت های سلفی، خازنی و یا رزنانس منحنی تغییرات امپدانس نسبت به فرکاس در شکل ۹-۹۵ ترسیم شده است.

مقدار فرکانس رزنانس مدار از رابطه زیر به دست می آید.

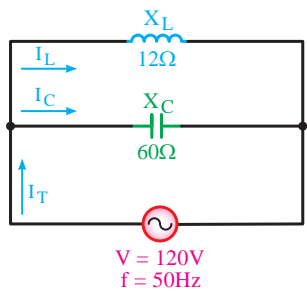
$$f_r = \frac{1}{2\pi\sqrt{LC}}$$



### شکل ۹-۹۶- وضعیت بردارها در حالت رزنانس

به علت مخالفت سلف با خازن اگر  $I_C$  با  $I_L$  مساوی باشد جریان کل مدار در حالت رزنانس برابر با صفر است.

(شکل ۹-۹۶)



### شکل ۹-۹۷- مدار LC موازی

مثال: جریان کل و جریان هر شاخه شکل ۹-۹۷ را به

$$I_L = \frac{V}{X_L} = \frac{12}{12} = 1 \cdot A$$

١٢

$$I_C = \frac{V}{X_C} = \frac{12}{6} = 2A$$

$$I_T = I_L - I_C = 10 - 2 = 8A$$

مدار حالت سلفی دارد.

مثال: در مدار شکل ۹-۹۸ مطلوب است:

الف - اميدانس مدار

ب - جریان کل مدار

ج - فرانس رزنانس

**حل:**

$$X_L = 2\pi f L = 2 \times 3 / 14 \times 0.5 \times 21 / 0.5 \times 1 = 1\Omega$$

$$X_C = \frac{1}{\pi f C} = \frac{1}{\pi \times 3/14 \times 0.5 \times 199.4 \times 10^{-9}} = 16 \Omega$$

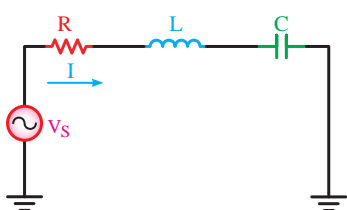
$$Z = \frac{X_C \cdot X_L}{X_C - X_L} = \frac{16 \times 8}{16 - 8} = \frac{128}{8} = 16\Omega$$

$$I = \frac{V_s}{Z} = \frac{100}{10} = 10 \text{ A}$$

$$f_r = \frac{1}{\pi \sqrt{LC}}$$

$$= \frac{1}{2 \times 3 / 14 \times \sqrt{21 / 5} \times 10^{-3} \times 199 / 4 \times 10^{-6}}$$

$$f_r = \gamma \sigma / \gamma H_z$$

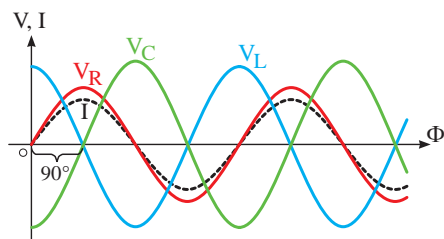


شکل ۹-۹۹- مدار RLC سری

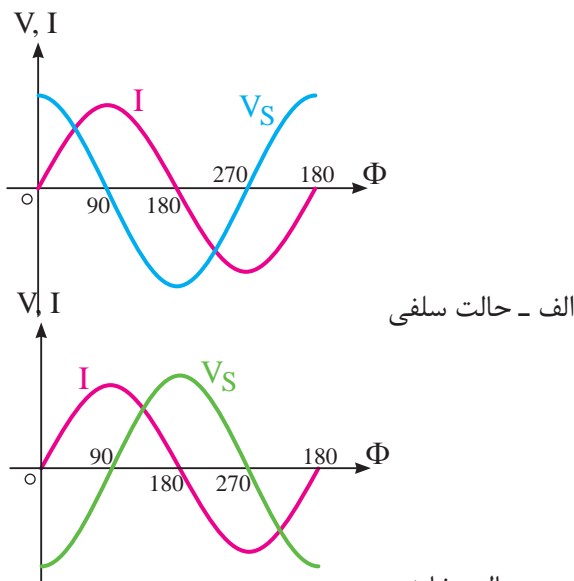
مدار RLC سری

در شکل ۹-۹۹ تصویر مدار RLC سری نشان داده شده است. در این مدار چون خازن، مقاومت و سلف با هم وجود دارد. سه نوع اختلاف فاز بین ولتاژ و جریان می‌آید. در مدار سری، جریان در تمامی عناصر یکسان است و ولتاژ  $V$  بین اجزای مدار به نسبت مقاومت‌ها تقسیم می‌شود.

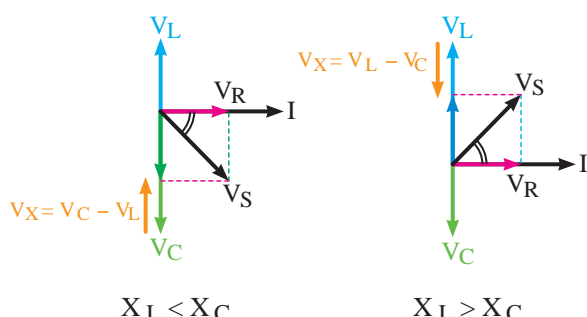




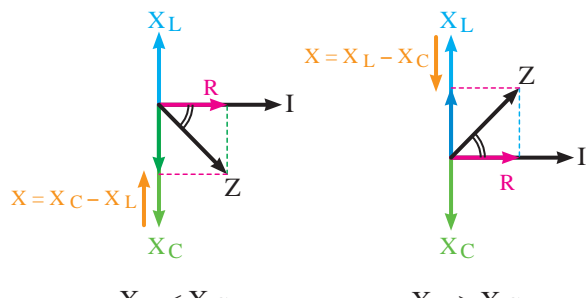
شکل ۹-۱۰۰- شکل موج های ولتاژ و جریان عناصر مدار RLC سری



شکل ۹-۱۰۱- شکل موج های ولتاژ و جریان کل مدار در حالت های سلفی و خازنی



شکل ۹-۱۰۲- دیاگرام برداری ولتاژها در حالت های مختلف



شکل ۹-۱۰۳- دیاگرام برداری امپدانس ها در حالت های مختلف

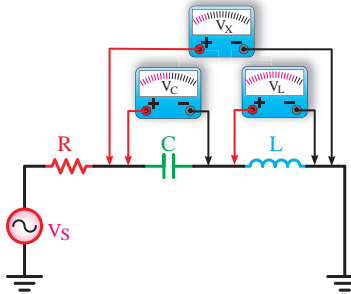
همانگونه که در شکل ۹-۱۰۰ مشاهده می شود روابط فازی بین ولتاژها و جریان کل مدار به شرح زیر است:

- ۱  $V_L$  نسبت به  $I$  ، ۹۰ درجه پیش فاز می شود.
- ۲ ۹۰ درجه نسبت به  $I$  پس فاز است.
- ۳  $V_R$  با جریان  $I$  هم فاز است.

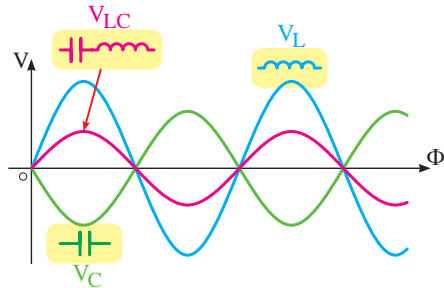
با توجه به روابط فازی اشاره شده می توان نتیجه گرفت بین ولتاژ و جریان کل مدار با توجه به مقادیر مقاومت ها می تواند یک زاویه اختلاف فاز در محدوده ۹۰-۰ درجه تا ۹۰+ درجه به وجود آید. در ازاء افزایش راکتانس سلفی مدار ( $X_L$ ) مدار حالت سلفی پیدا می کند و اختلاف فاز به ۹۰+ درجه نزدیک می شود (شکل ۹-۱۰۱-الف) و چنانچه راکتانس خازنی مدار ( $X_C$ ) نسبت به راکتانس سلفی ( $X_L$ ) افزایش یابد مدار خاصیت خازنی پیدا می کند و زاویه اختلاف فاز به ۹۰- درجه نزدیک می شود. (شکل ۹-۱۰۱-ب)

دیاگرام برداری ولتاژها را در دو حالت  $X_L > X_C$  و  $X_C > X_L$  می توان رسم کرد.

شکل ۹-۱۰۲ دیاگرام برداری ولتاژها و شکل ۹-۱۰۳ دیاگرام برداری امپدانس ها را نشان می دهد.



الف-وضعیت مداری عناصر



ب(شکل موج دو سر عناصر

شکل ۹-۱۰۴- شکل موج های ولتاژ، سلف، خازن و ترکیب آن ها به همراه وضعیت مداری

مانند مدارهای سری قبل برای مثلث های تشکیل شده در دیاگرام های برداری می توان رابطه فیشاگورث را به شرح زیر نوشت. شکل موج ولتاژ های دو سر سلف، خازن و ترکیب آن ها در شکل ۹-۱۰۴ مشاهده می کنید.

$$V_S = \sqrt{V_R^2 + (V_L - V_C)^2} \quad V_L > V_C$$

$$V_S = \sqrt{V_R^2 + (V_C - V_L)^2} \quad V_C > V_L$$

$$Z = \sqrt{R^2 + (X_L - X_C)^2} \quad X_L > X_C$$

$$Z = \sqrt{R^2 + (X_L - X_C)^2} \quad X_C > X_L$$

ضریب قدرت و ضریب کیفیت در مدارهای RLC براساس روابط زیر قابل محاسبه است.

$$\cos \Phi = \frac{V_R}{V_S} = \frac{R}{Z}$$

$$\sin \Phi = \frac{V_X}{V_S} = \frac{X^{(1)}}{Z}$$

$$\operatorname{tg} \Phi = \frac{V_X}{V_R} = \frac{X}{R}$$

در این مدارها افزایش فرکانس روی  $X_L$  و  $X_C$  مؤثر است به طوری که سبب افزایش  $X_L$  و کاهش  $X_C$  می شود.

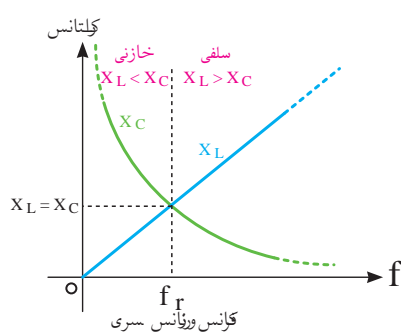
$$\downarrow X_C = \frac{1}{2\pi f \cdot c} \quad \uparrow X_L = 2\pi f \cdot L \quad \text{زیرا:}$$

در مدارهای RCL به ازای تغییر فرکانس نقطه ای به وجود می آید که در آن نقطه مقدار  $X_L$  با  $X_C$  برابر می شود.

این حالت را در اصطلاح «رزنانس یا تشدید» می نامند.

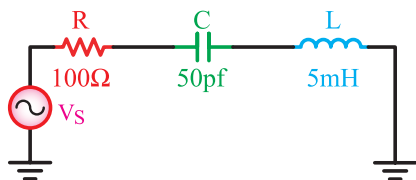
فرکانس آن را با ( $f_r$ ) نمایش می دهند. (شکل ۹-۱۰۵)

شکل ۹-۱۰۵ منحنی تغییرات  $X_L$  و  $X_C$  را نسبت به تغییر فرکانس نشان می دهد. با توجه به این که در



شکل ۹-۱۰۵- منحنی تغییرات  $X_L$  و  $X_C$  به ازای تغییرات فرکانس

۱- منظور از  $X$  راکتانس معادل بین  $X_L$  و  $X_C$  مدار است.



شکل ۹-۱۰۶- شکل موج های ولتاژ و جریان کل مدار در شرایط مختلف

لحظهه رزنانس خاصیت های سلفی و خازنی یکدیگر را خنثی می کنند امپدانس مدار برابر با  $Z = R$  خواهد شد. فرکانس رزنانس مدار را به صورت زیر می توان محاسبه کرد.

در حالت رزنانس

$$X_L = X_C$$

$$2\pi f_r L = \frac{1}{2\pi f_r C}$$

$$f_r = \frac{1}{4\pi^2 LC}$$

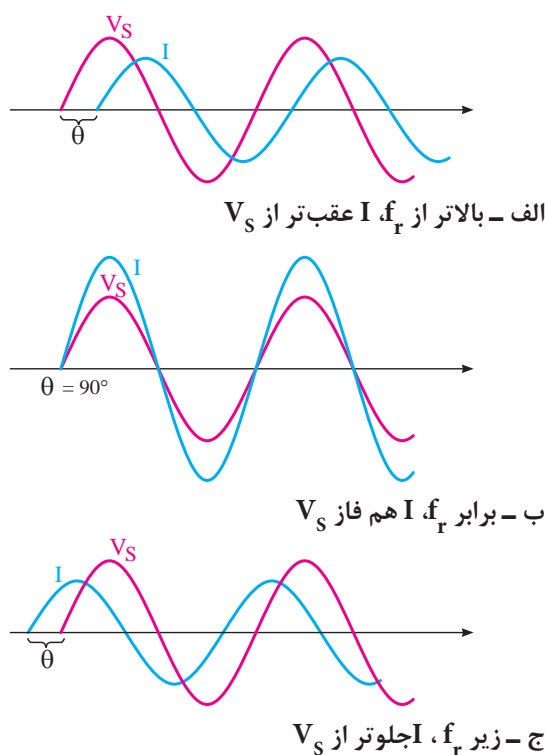
$$f_r = \frac{1}{2\pi\sqrt{LC}}$$

مثال: فرکانس رزنانس مدار شکل ۹-۱۰۶ چقدر است؟

حل: با استفاده از رابطه  $f_r$  داریم:

$$f_r = \frac{1}{2\pi\sqrt{LC}} = \frac{1}{2\pi\sqrt{3/14 \times \sqrt{(5mh)(5\cdot pf)}}} = 318000 \text{ Hz}$$

$$= 318 \text{ kHz}$$

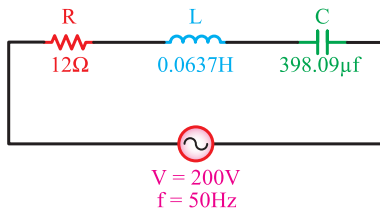


شکل ۹-۱۰۷- شکل موج های ولتاژ و جریان کل مدار در شرایط مختلف

از مجموعه مطالعه فوق می توان نتیجه گرفت که در فرکانس های کمتر از فرکانس رزنانس  $X_C$  زیاد است و مدار حالت خازنی دارد به عبارت دیگر جریان مدار ( $I$ ) نسبت به ولتاژ کل ( $V_s$ ) به اندازه  $\theta$  درجه جلوتر است. در شرایطی که فرکانس مدار بیشتر از فرکانس رزنانس باشد مقادار ( $X_L$ ) زیادتر می شود و جریان  $I$  اندازه  $\theta$  درجه از ولتاژ ( $V_s$ ) عقب می ماند. بنابراین در حالت رزنانس مدار فقط خاصیت اهمی دارد و ولتاژ ( $V_s$ ) با جریان  $I$  هم فاز است. در شکل ۹-۱۰۷ این مطلب نشان داده شده است.

مثال: با در نظر گرفتن مدار شکل ۹-۱۰۸ مطلوب

است:



شکل ۹-۱۰۸

الف - امپدانس مدار

ب - جریان مدار

ج - ولتاژ دو سر عنصر مدار

د - ضریب قدرت و آته و دو آته

ه - ضریب کیفیت مدار

و - فرکانس رزنانس

حل:

$$X_L = 2\pi f \cdot L = 2 \times 3.14 \times 0.0637 \times 50 = 20\Omega$$

$$X_C = \frac{1}{2\pi f \cdot C} = \frac{1}{2 \times 3.14 \times 50 \times 398.09 \times 10^{-9}} = 8\Omega$$

چون  $X_L > X_C$  است پس مدار خاصیت سلفی دارد و

در نتیجه:

$$Z = \sqrt{R^2 + (X_L - X_C)^2} = \sqrt{(12)^2 + (20 - 8)^2} = 20\Omega$$

$$I = \frac{V}{R} = \frac{200}{20} = 10\text{A}$$

$$V_R = R \cdot I = 12 \times 10 = 120\text{V}$$

$$V_L = X_L \cdot I = 20 \times 10 = 200\text{V}$$

$$V_C = X_C \cdot I = 8 \times 10 = 80\text{V}$$

$$\cos \Phi = \frac{R}{Z} = \frac{12}{20} = 0.6$$

$$\sin \Phi = \frac{X_L - X_C}{Z} = \frac{20 - 8}{20} = 0.6$$

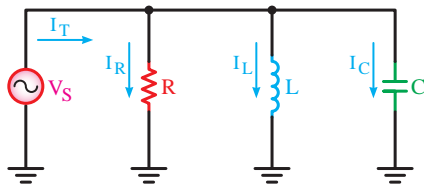
$$Q = \tan \Phi = \frac{X_L - X_C}{R} = \frac{20 - 8}{12} = 1$$

$$f_r = \frac{1}{2\pi\sqrt{LC}}$$

$$= \frac{1}{2 \times 3.14 \times \sqrt{0.0637 \times 398.09 \times 10^{-9}}} = 31.62\text{Hz}$$

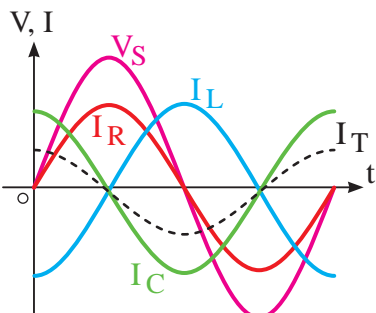
## مدار RLC موازی

ح



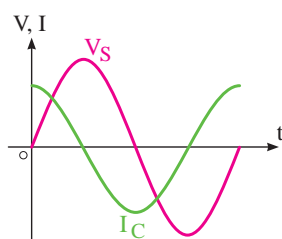
شکل ۹-۱۰۹- مدار RLC موازی

هرگاه سه عنصر مقاومت، سلف و خازن طبق شکل ۹-۱۰۹ اتصال یابند، این اتصال را اتصال موازی می‌گویند. ولتاژ در این مدارها برای همه عناصر و جریان بین شاخه‌ها به نسبت عکس مقاومت‌ها تقسیم می‌شود.

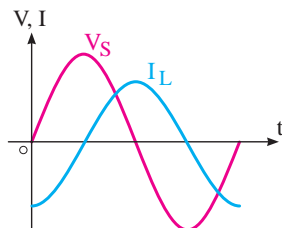


شکل ۹-۱۱۰- موج‌های ولتاژ و جریان در مدار ۸ موازی

روابط فازی بین ولتاژ و جریانها به صورت شکل ۹-۱۱۰ است. در این مدار جریان  $I_C$  به اندازه  $90^\circ$  درجه از ولتاژ  $V_S$  جلوتر، جریان  $I_L$  به اندازه  $90^\circ$  درجه از ولتاژ  $V_S$  عقب‌تر و جریان  $I_R$  با ولتاژ  $V_S$  هم فاز است.



شکل ۹-۱۱۱- موج ولتاژ و جریان در شاخه I و V خازنی

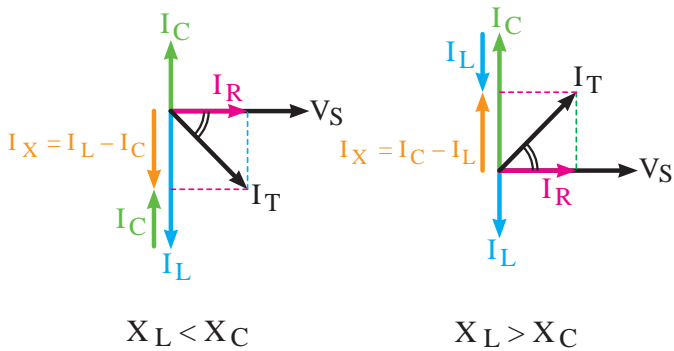


شکل ۹-۱۱۲- موج ولتاژ و جریان در شاخه سلفی

چون جریان شاخه خازنی  $90^\circ$  درجه جلوتر و جریان شاخه سلفی  $90^\circ$  درجه عقب‌تر از ولتاژ است لذا جریان‌های سلفی و خازنی با یکدیگر به اندازه  $180^\circ$  درجه اختلاف فاز دارند، بنابراین دو جریان در دو جهت برآیند بین این دو ( $I_X$ ) از تفاضل آن‌ها به دست می‌آید. شکل ۹-۱۱۱ و شکل ۹-۱۱۲ شکل موج‌های جریان‌های  $I_C$  و  $I_L$  را نسبت به ولتاژ نشان می‌دهد.

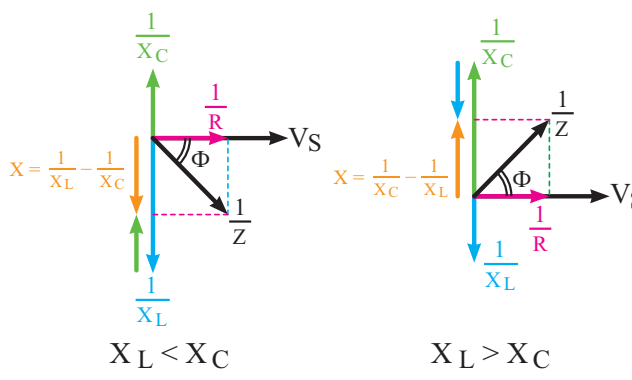
در مدارهای رزنانس با اضافه شدن  $X_L$  جریان شاخه سلفی کم می‌شود و مدار خاصیت خازنی بیشتری پیدا می‌کند در این حالت زاویه اختلاف فاز بین  $I_T$  و  $V_S$  در محدوده صفر و  $90^\circ$  درجه در حالت خازنی قرار می‌گیرد. در صورتی که  $X_C$  افزایش یابد شرایط عکس اتفاق می‌افتد و مدار سلفی می‌شود.

دیاگرام‌های برداری جریان‌ها و امپدانس برای دو حالت  $X_C > X_L$  و  $X_L > X_C$  قابل ترسیم است.



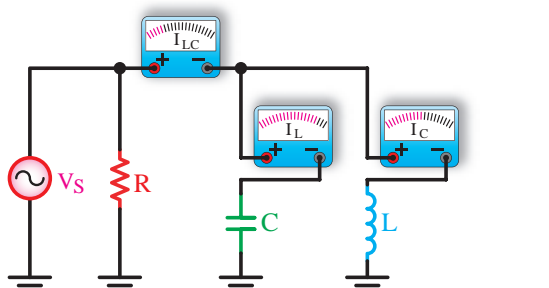
شکل ۹-۱۱۳- دیاگرام جریان‌ها در حالت‌های مختلف

شکل ۹-۱۱۴- دیاگرام عکس امپدانس‌ها را در دو حالت نشان می‌دهد.

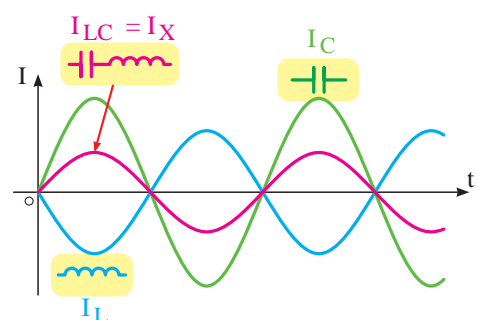


شکل ۹-۱۱۴- دیاگرام برداری عکس امپدانس (ادمیتانس) در حالت‌های مختلف

با استفاده از دیاگرام‌های برداری و رابطه فیثاغورث برای جریان‌ها می‌توانیم بنویسیم:



الف - وضعیت مداری عناصر



ب - شکل موج دو سر عناصر

شکل ۹-۱۱۵- شکل موج‌های جریان سلف، خازن و ترکیب آن‌ها به همراه وضعیت مداری

$$I_T = \sqrt{I_R^2 + (I_L - I_C)^2} \quad X_C > X_L$$

$$I_T = \sqrt{I_R^2 + (I_C - I_L)^2} \quad X_L > X_C$$

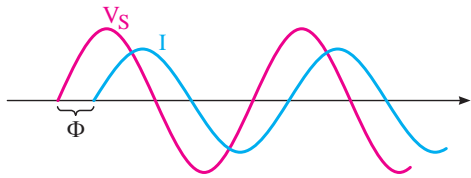
برای محاسبه امپدانس باید ابتدا راکتانس معادل بین سلف و خازن مدار را مانند یک مدار موازی از رابطه  $X = \frac{X_L \cdot X_C}{|X_L - X_C|}$  به دست آورد و سپس Z را از روابط زیر به دست آورد. (شکل ۹-۱۱۵)

$$Z = \frac{R \cdot X}{\sqrt{R^2 + X^2}} \quad X_C > X_L$$

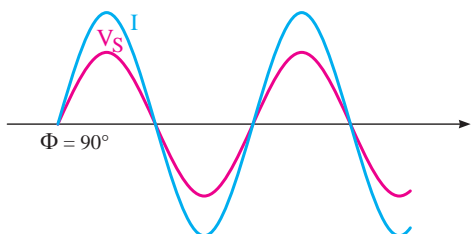
$$Z = \frac{R \cdot X}{\sqrt{R^2 + X^2}} \quad X_L > X_C$$

۱- منظور از X راکتانس معادل بین  $X_L$  و  $X_C$  مدار است.

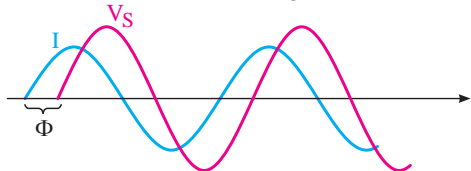
ضرایب قدرت و ضریب کیفیت در مدارهای RLC موازی از روابط زیر به دست می‌آید.



الف - پایین‌تر از  $f_r$ ,  $V_S$  عقب‌تر از  $I$  (پس فاز)



ب - برابر  $f_r$ ,  $V_S$  هم فاز با  $I$  است (هم‌فاز)



ج - بالاتر از  $f_r$ ,  $V_S$  جلوتر از  $I$  (پیش فاز)

شکل ۹-۱۱۶- شکل موج‌های ولتاژ و جریان کل مدار در شرایط مختلف

$$\cos \Phi = \frac{I_R}{I_T} = \frac{\cancel{V}}{\cancel{Z}} = \frac{Z}{R}$$

$$\sin \Phi = \frac{I_X}{I_T} = \frac{\cancel{V}}{\cancel{Z}} = \frac{Z}{X}$$

$$\operatorname{tg} \Phi = \frac{I_X}{I_R} = \frac{\cancel{V}}{\cancel{R}} = \frac{R}{X}$$

در حالت رزنانس  $\frac{1}{X_L} = \frac{1}{X_C}$  (برابر شدن ادمیتانس‌ها) می‌شود و می‌توانیم بنویسیم  $X_L = X_C$  است.

چگونگی محاسبه فرکانس رزنانس ( $f_r$ ) مانند مدارهای RLC سری است.

$$f_r = \frac{1}{2\pi\sqrt{LC}}$$

در لحظه رزنانس امپدانس مدار برابر خواهد شد با:

$$X_L = X_C \Rightarrow Z = R$$

در حالت تشدید حداقل جریان از مدار عبور می‌کند.

$$I_T = \frac{V_S}{Z} \Rightarrow I = \frac{V_S}{R}$$

در صورت تغییر فرکانس، مدار در سه حالت می‌تواند قرار گیرد.

۱- به ازای فرکانس‌های کمتر از فرکانس رزنانس مدار سلفی‌تر می‌شود.

۲- در صورت افزایش فرکانس به مقداری بیشتر از  $f_r$  مدار دارای خاصیت خازنی می‌شود.

۳- در شرایط رزنانس مدار اهمی خالص است. شکل ۹-۱۱۶ منحنی‌های ولتاژ و جریان را در سه حالت نشان می‌دهد.

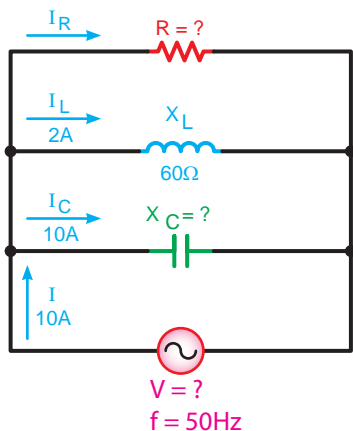
### تذکر مهم:



شرط  $X_L = X_C$  برای حالت رزنانس را فقط برای مدارهای RLC, LC و RLC سری و موازی می‌توان در نظر گرفت و فرکانس رزنانس را براساس آن به صورت زیر محاسبه کرد:

$$f_r = \frac{1}{2\pi\sqrt{LC}}$$

مثال: در مدار شکل ۹-۱۱۷ مطلوب است:



شکل ۹-۱۱۷

الف - جریان  $I_R$

ب - ولتاژ مدار

ج - امپدانس

د - مقدار  $X_C$  ،  $R$

ه - ضریب کیفیت

و - فرکانس رزنانس مدار

$$I_T = \sqrt{I_R^2 + (I_C - I_L)^2}$$

$$I_R = \sqrt{I_T^2 - (I_C - I_L)^2} = \sqrt{(10)^2 - (10 - 2)^2}$$

$$I_R = 6A$$

$$V = X_L \cdot I_L = 60 \times 2 = 120V$$

$$R = \frac{V}{I_R} = \frac{120}{6} = 2\Omega$$

$$X_C = \frac{V}{I_C} = \frac{120}{10} = 12\Omega$$

$$Z = \frac{V}{I} = \frac{120}{10} = 12\Omega$$

$$Q = \tan \Phi = \frac{I_X}{I_R} = \frac{10 - 2}{6} = \frac{8}{6} = 1/3$$

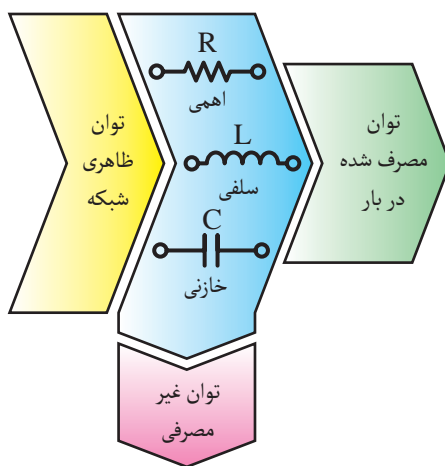
$$L = \frac{X_L}{2\pi f} = \frac{60}{2 \times 3.14 \times 50} = 1.9\Omega$$

$$C = \frac{1}{2\pi f \cdot X_C} = \frac{1}{2 \times 3.14 \times 50 \times 12} \\ = 2/56 \times 10^{-9} F$$

$$f_r = \frac{1}{2\pi\sqrt{LC}} \\ = \frac{1}{2 \times 3.14 \times \sqrt{1.9 \times 2/60 \times 10^{-9}}} \\ f_r = 22/4 H_z$$

حل: برای محاسبه مقادیر مجهول مطابق روابط مقابل می توان عمل کرد:

## ۹-۸- انواع توان در جریان متناوب تکفاز



در مدارهای جریان متناوب از عناصر اهمی - سلفی و خازنی به صورت مستقل و یا ترکیبی استفاده می شود. این عناصر انرژی الکتریکی دریافتی از شبکه را به صورت های گوناگون ظاهر می کنند.

گروهی از عناصر توان الکتریکی را مورد مصرف قرار داده و گروهی دیگر به صورت انرژی ذخیره می کنند. به همین خاطر در شبکه های متناوب سه نوع توان خواهیم داشت.

(شکل ۹-۱۱۸)

شکل ۹-۱۱۸- بلوك دیاگرام توان ها در جریان متناوب

### ۱- توان «ظاهری» (S):

طبق تعریف به حاصل ضرب ولتاژ و جریان مؤثر توان ظاهری گفته می شود و به صورت زیر می توان به دست آورد.



$$S = V_e \cdot I_e$$

واحد توان ظاهری «ولت آمپر (V.A)» است.

### ۲- توان حقیقی - مفید - اکتیو (P):

توانی که از طرف بار الکتریکی مورد استفاده قرار گرفته و کار مؤثر انجام می دهد را توان حقیقی (اکتیو - مفید) می گویند. این توان مربوط به مصرف کننده های اهمی (R) بوده (شکل ۹-۱۱۹) و از روابط زیر محاسبه می شود.

$$P = V_e \cdot I_e \cdot \cos \Phi$$

$$P = R \cdot I^2_e$$

$$P = \frac{V_e^2}{R}$$

واحد توان حقیقی بر حسب (وات W) است.



شکل ۹-۱۲۰

### ۳- توان «غیرحقیقی - غیرمفید - راکتیو»:

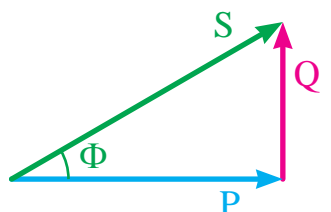
مقدار توانی که در مقاوت های سلفی و خازنی ظاهر می شود ولی نمی تواند به کار مفید تبدیل گردد را توان غیرحقیقی (غیرمفید - راکتیو) مینامند. (شکل ۹-۱۲۰) این توان به صورت تناوبی بین مصرف کننده و شبکه رفت و برگشت می شود.

توان غیرمفید را بر حسب «وار - VAR» محاسبه می کنند. در محاسبات مربوط به توان راکتیو معمولاً بارهای سلفی را با علامت مثبت و بارهای خازنی را با علامت منفی در روابط نشان می دهند.

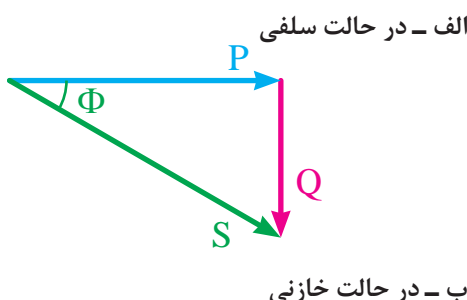
$$Q = \pm(V_e \cdot I_e \cdot \sin \Phi)$$

$$Q = \pm(X \cdot I_e^r)$$

$$Q = \pm\left(\frac{V_e^r}{X}\right)$$



در روابط فوق X معرف راکتانس معادل  $X_L$  و  $X_C$  مدار است.



شکل ۹-۱۲۱- دیاگرام برداری مثلث توان ها در حالت های مختلف

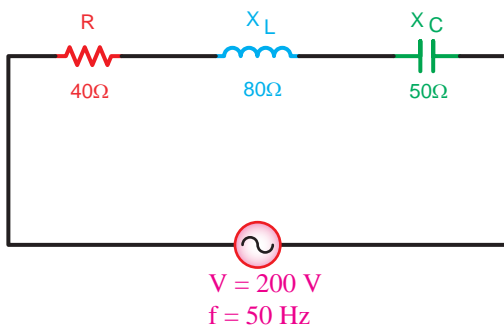
**توضیح** حاصل جمع توان های

داده شده و گرفته شده (توان  
ظاهری) به صورت برداری

است و از رابطه  $S = \sqrt{P^r + Q^r}$  محاسبه



می شود. (شکل ۹-۱۲۱)



شکل ۹-۱۲۲- مدار RLC سری

مثال: در شکل ۹-۱۲۲ مطلوب است:

الف - توانهای ظاهری، اکتیو و راکتیو مدار

ب - ضریب قدرت دوایه

حل:

ابتدا امپدانس را به دست می آوریم تا بتوان براساس آن توانها و ضریب کیفیت را محاسبه کرد.

$$Z = \sqrt{R^2 + (X_L - X_C)^2} = \sqrt{(40)^2 + (80 - 50)^2} = 50\Omega$$

$$Z = 50\Omega$$

$$I = \frac{V}{Z} = \frac{200}{50} = 4A$$

$$S = Z \cdot I^2 = 50 \times (4)^2 = 800VA$$

$$P = R \cdot I^2 = 40 \times (4)^2 = 640W$$

$$Q = X \cdot I^2 = (80 - 50) \times (4)^2 = 480VAR$$

$$\sin \phi = \frac{X}{Z} = \frac{80 - 50}{50} = \frac{30}{50} = 0.6$$

مثال:

در مدار شکل ۹-۱۲۳ مطلوب است:

الف - ضریب قدرت وایه مدار

ب - توان ظاهری مدار

ج - توان اکتیو و راکتیو مدار

حل:

$$V = I_R \cdot R = 12 \times 20 = 240V$$

$$I_L = \frac{V}{X_L} = \frac{240}{12} = 20A$$

$$I_L = \sqrt{I_R^2 + (I_L - I_C)^2}$$

$$I_T = \sqrt{(12)^2 + (20 - 4)^2} \Rightarrow I_T = 20A$$

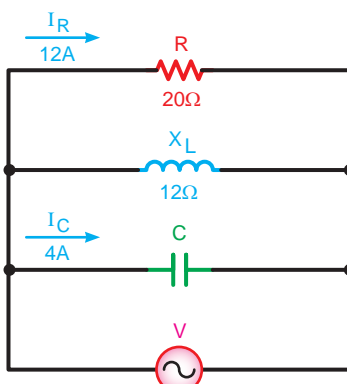
$$\cos \Phi = \frac{I_R}{I_T} = \frac{12}{20} = 0.6$$

$$\sin \Phi = \frac{20 - 4}{20} = \frac{16}{20} = 0.8$$

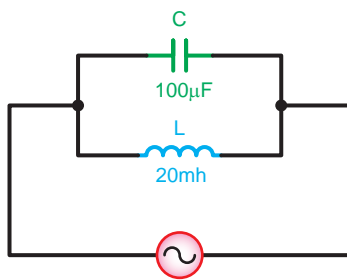
$$S = V_e \cdot I_e = 240 \times 20 = 4800VA$$

$$P = V_e \cdot I_e \cdot \cos \Phi = 240 \times 20 \times 0.6 = 2880W$$

$$Q = V_e \cdot I_e \cdot \sin \Phi = 240 \times 20 \times 0.8 = 3840VAR$$



شکل ۹-۱۲۳- مدار RLC موازی



$V = 200 V$   
 $f = 50 Hz$

شکل ۹-۱۲۴

$$X_L = 2\pi f L$$

$$X_L = 2 \times 3 / 14 \times 50 \times 20 \times 10^{-3} = 6 / 28 \Omega$$

$$X_C = \frac{1}{2\pi f C}$$

$$X_C = \frac{1}{2 \times 3 / 14 \times 50 \times 100 \times 10^{-6}} = 31 / 8 \Omega$$

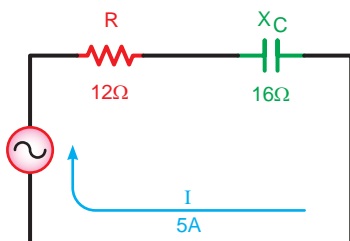
$$\frac{1}{Z} = \frac{1}{X_L} - \frac{1}{X_C} = \frac{X_C - X_L}{X_L \cdot X_C}$$

$$Z = \frac{X_C \cdot X_L}{X_C - X_L} = \frac{31 / 8 \times 6 / 28}{31 / 8 - 6 / 28} = 7 / 82 \Omega$$

$$I = \frac{V}{Z} = \frac{100}{7 / 82} = 12 / 78 A$$

$$P = .$$

$$Q = S = V_e I_e = 100 \times 12 / 78 = 1278 VA$$



شکل ۹-۱۲۵

$$Z = \sqrt{R^2 + X_C^2}$$

$$Z = \sqrt{(12)^2 + (16)^2} = 20 \Omega$$

$$V = IZ$$

$$V = 5 \times 20 = 100 V$$

$$\cos \Phi = \frac{R}{Z} = \frac{12}{20} = .6$$

$$\sin \Phi = \frac{X_C}{Z} = \frac{16}{20} = .8$$

$$S = V \cdot I = 100 \times 5 = 500 V \cdot A$$

$$P = S \cdot \cos \Phi = 500 \times .6 = 300 W$$

$$Q = S \cdot \sin \Phi = 500 \times .8 = 400 VAR$$

چون جریان شاخه سلفی بیشتر از شاخه خازنی است لذا

توان راکتیو سلفی است و با علامت مثبت نشان می دهیم.

مثال: یک سلف به خودالقایی ۲۰ میلی هانری با یک

خازن به ظرفیت ۱۰۰ میکروفاراد مطابق شکل ۹-۱۲۴ به

صورت موازی به ولتاژ مؤثر ۱۰۰ ولت با فرکانس ۵۰ هرتز

متصل شده اند، مطلوب است:

الف - جریان مدار

ب - توان های اکتیو، راکتیو و ظاهری

حل: مقادیر مجھول به کمک روابط مقابل چنین به

دست می آید.

چون مصرف کننده اهمی نداریم توان مصرفی مدار صفر

است.

مثال: در مدار شکل ۹-۱۲۵ مطلوب است:

الف - ولتاژ کل مدار

ب - ضرایب وانه و دواته مدار

ج - توان اکتیو و راکتیو و ظاهری

حل: براساس روابط مدارهای RC سری مقادیر خواسته

شده به صورت مقابل به دست می آید.

## عملیات کارگاهی (کار عملی ۱۰)



ساعت		
جمع	عملی	نظری
۱	۱	-

هدف: بررسی مدارهای خازنی سری در جریان

وسایل و تجهیزات مورد نیاز (برای هر گروه کار)

۱- سیکنال ژنراتور

۲- مولتیمتر دیجیتالی

۳- LC متر

۴- بردبرد آزمایشگاهی

۵- خازن‌ها

۱ عدد  $C_1 = 0.22\mu F$  با حداقل ولتاژ کار ۱۰ ولت

۲ عدد  $C_2 = 0.1\mu F$  با حداقل ولتاژ کار ۱۰ ولت

۱ عدد  $C_3 = 0.47\mu F$  با حداقل ولتاژ کار ۱۰ ولت

۶- سیم تلفنی

۷- سیم چین

۸- سیم لخت کن



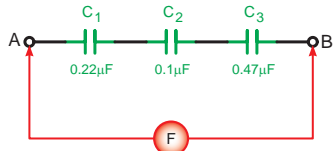
برای اندازه‌گیری ولتاژ و جریان عناصر مدار می‌توانید از یک آوومتر دیجیتالی یکبار به صورت ولتمتری و بار دیگر به صورت آمپرمتری بطور جداگانه استفاده کنید.

## مراحل اجرای آزمایش

۱- سه خازن  $C_1$  و  $C_2$  و  $C_3$  را مطابق شکل ۹-۱۲۶ روی بردبرد اتصال دهید و با استفاده از دستگاه LC متر ظرفیت خازن معادل مدار در نقطه A و B را اندازه‌گیری کنید.

$$C_{AB} = \boxed{\phantom{000}} \mu F$$

الف - شکل واقعی



ب - شکل مداری

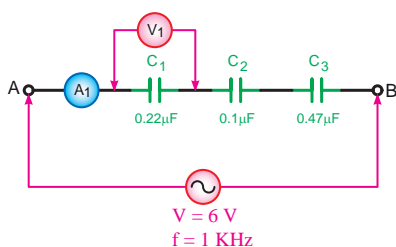
شکل ۹-۱۲۶

۲- سیگنال ژنراتور را روی ولتاژ ۶ ولت سینوسی با فرکانس ۱ کیلوهرتز (kHz) تنظیم کنید و طبق شکل ۹-۱۲۷ به دو نقطه A و B مدار وصل کنید.

شکل ۹-۱۲۷



الف - شکل واقعی



ب - شکل مداری

شکل ۹-۱۲۸

۳- با استفاده از یک مولتی متر دیجیتالی جریان عبوری و ولتاژ دوسر خازن  $C_1$  را اندازه‌گیری کنید. (شکل ۹-۱۲۸)

$$V_{C_1} = \boxed{\phantom{000}} V$$

$$I_{C_1} = \boxed{\phantom{000}} mA$$